

## ORIJENTACIJA RADARA 3MK7 ASTRONOMSKOM METODOM

### Orientation of a 3MK7 radar by astronomic method

SREĆKO BANDALO

Republički hidrometeorološki zavod SR Hrvatske, Zagreb

Primljeno 07. veljače 1989., u konačnom obliku 13. lipnja 1989.

**Sažetak:** U radu je izložena astronomска метода за проверу точности оријентације ка сјеверу метеоролошког радара 3MK7, који се у СР Хрватској користи у obrани од туче. Поступак је изведен уз предпоставку паралелности оптичких оси нишанског дурбина и примопредајника радара. Уважен је утицај ротације и револуције Земље. Изложени про-рачунати положаји Сјевернјаче у трајилу нишанског дурбина односе се на координате  $\varphi=45^{\circ}, 217411$  и  $\lambda=17^{\circ}, 299019$ , и без посебног прilагодавања се могу користити за проверу оријентације радара у панонском дијелу Хрватске.

**Ključне ријечи:** Obrana od туче; Polaris или звјезда Сјевернјача; Ротација; Рево-лucija.

Grafocentar (rasprave)

RN-834 f 2,3,8,105c Flopy-9 BT-53

**Abstract:** This article discusses an astronomic method of testing the exactness of radar orientation. It is related to a meteorological radar 3MK7, used in hail suppression activities in Croatia.

The procedure is defined on the supposition that the radar finder and the transceiver axis are parallel. The method also considers earth revolution and rotation. Polaris positions treated by telescope are related to the following coordinates:  $\varphi=45^{\circ}, 217411$  i  $\lambda=17^{\circ}, 299019$ . These positions can be used for testing the radar orientation exactness on other locations in northern Croatia, without further corrections.

**Key words:** Hail suppression, Polaris, Earth rotation, Earth revolution.

### 1. UVOD

#### 1.1. Općenito

U obrani od туче у СР Хрватској у употреби су противавионски нишански радари 3MK7 прilagođeni za mетеоролоšku primjenu.

Ovi radari су mobilnog tipa, no u primjeni u obrani od туче (OT) su stacionirani. Kod većine nije izvršena propisna stabilizacija terena na kojem su stacionirani. Zbog toga je svake godine nužno niveliiranje i оријентација ка сјеверу svih uređaja.

Iz toga proizlazi da je obaveza ekipa radarskih centara (RC) да barem dva puta u toku sezone OT izvrše проверу оријентације радара, te na osnovi уočenih neispravnosti traže intervenciju službe za održavanje радара. Задатак је definirati што точнију а уједно што једnostavniju методу за проверу точности оријентације радара 3MK7. Кao rješenje ovako postavljenog задатка nametnula се astronomска метода као најточнија а уједно и relativno једnostavna.

Zadatak dakle можемо preformulirati: метода за проверу точности оријентације радара 3MK7 помоћу звјезде Polaris или Sјевернјача (што је код нас уobičajen назив).

#### 1.2. Početni uvjeti

Osnovni uvjet koji treba испuniti да би говорили о оријентацији радара је да оптичка ос »нишанског дурбина« буде паралелна са оптичком оси антenskog примопредајnika.

Općenito, када је ријеч о оријентацији радара, поželjna је што већа точност. Ipak, не улазећи овом приликом у обrazlaganje, можемо бити задовољни ако радар оријентирамо тако да се сјеверни пол налази у кругу радиуса  $0,^{\circ}25$ , то јест  $15'$  око оптичке оси нишанског дурбина (радара). Onog момента када тај увјет није испуњен, треба приступити поновној нивелијацији и оријентацији радара.

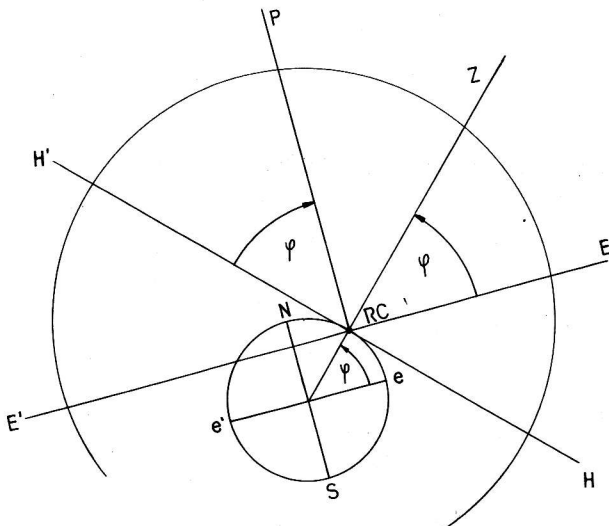
### 2. ISHODIŠTA METODE

#### 2.1. Veza između geografskih i nebeskih koordinata

Promotrimo утицај географске ширине локације радарског центра (RC) на однос RC и неbeske sfere под увјетом да је радар смјештен у ishodište horizontskog координатног sustava.

Iz Sl.1. видимо sljedeće:

Ako antenu радара podignemo на elevaciju која је по износу jednakа географској ширини (» $\varphi$ «) локације RC и затим је по азимуту usmjerimo ка сјеверу, ако је радар добро



Sl. 1. Geografska širina i horizontski kordinatni sustav. (N) sjeverni pol, (S) južni pol, ( $\varphi$ ) geografska širina, (P) nebeski pol, (Z) zenit, e-e' ekvator, E'-E nebeski ekvator, H'-H horizont.

Fig. 1. Latitude and horizon coordinates.

- (N) – North Pole
- (S) – South Pole
- ( $\varphi$ ) – latitude
- (P) – celestial pole
- (Z) – zenith
- e-e' – equator
- E'-E – celestial equator
- H'-H – horizon

orientiran, u tražilu nišanskog durbina bi trebao biti sjeverni pol sa okolnim zvijezdama.

Geografska dužina lokacije RC je od značaja za mjerjenje vremena, to jest za definiranje lokacije nebeskih objekata u odnosu na RC.

## 2.2. Astronomsko mjerjenje vremena

U astronomiji se, ovisno o karakteru problema koji se rješava, srećerivo sa više različitih definicija vremena, pa tako imamo zvijezdano vrijeme, sunčevno vrijeme, mjesno, zonsko, svjetsko i efemerijsko vrijeme.

Za potrebe ove metode treba znati slijedeće.

Svjetsko vrijeme predstavlja srednje sunčevno griničko vrijeme računato od griničke ponoći. Označava se sa UT. Do nedavno se koristilo u astronomskim tablicama (do 1960.). Od tada se uvodi efemerijsko vrijeme koje omogućava veću točnost. Odstupanje UT od efemerijskog vremena je 1971.g. iznosilo  $+39^{\circ},0$  što je za naše potrebe bez značenja. Mjesno vrijeme je funkcija geografske dužine i isto je samo za posmatrače na istom meridiju.

Zonsko vrijeme je uvedeno radi pojednostavljenja. Po površini Zemlje su formirane zone širine  $15^{\circ}$  oko meridiana:  $0^{\circ}$ ,  $15^{\circ}$ ,  $30^{\circ}$ , ... Razlika u vremenu između ovih zona iznosi 1 h. Početna zona je oko griničkog meridijana.

Vrijeme u našoj zemlji se formira oko meridijana  $15^{\circ}$  i zove se srednjeevropsko vrijeme (SEV). U odnosu na svjetsko vrijeme naši satovi pokazuju jedan sat više.

Uvodjenjem »ljetnog« vremena u periodu od 27. 03. do 25. 09. naši satovi pokazuju dva sata više od svjetskog vremena. Eksperimentalni rezultati iznjeti u ovom radu odnose se na službeno ljetno vrijeme.

## 2.3. Rotacija i revolucija

Okretnje Zemlje oko polarne osi zove se rotacija. Rotacija uzrokuje prividno kretanje nebeske sfere pri čemu objekti, za svaki sat vremena, pređu, od istoka ka zapadu, put od  $15^{\circ}$ .

Kruženje Zemlje oko Sunca zove se revolucija.

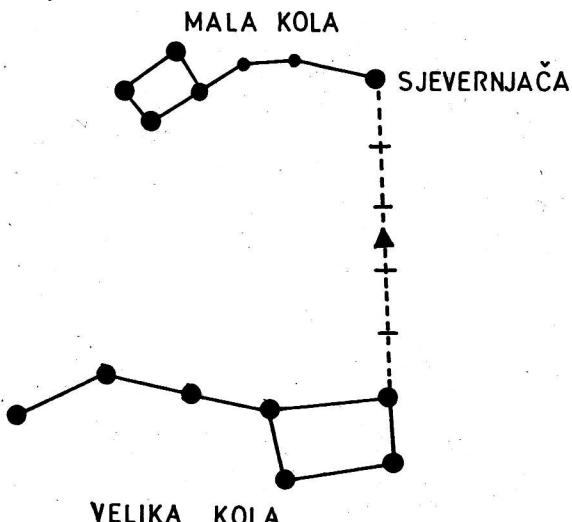
Revolucija, također, uzrokuje prividno gibanje nebeske sfere oko zemaljske osi. Budući da Zemlja za godinu dana napravi jedan puni krug oko Sunca, uslijed revolucije, nebeska sfera se za jedan dan zakrene za 365. dio punog kruga. Možemo uzeti da se svaki dan nebeska sfera, uslijed revolucije, zakrene približno za  $1^{\circ}$  od istoka ka zapadu.

## Orientacija na zvjezdanom nebu

Za orientaciju na zvjezdanom nebu i pronaalaženju Sjevernjače značajno je uočiti dva sazvježđa: Veliki medvjed (ili Velika kola) i Mali medvjed (ili Mala kola).

Oba sazvježđa se sa naših geografskih širina vide tokom cijele godine.

Velika kola jesu sazvježđe koje se lako uočava zbog sedam osnovnih zvijezda podjednake prividne veličine. Sjevernjaču nalazimo tako da spojnicu posljednje dvije zvijezde u Velikim kolima produžimo pet puta, kako to prikazuje Sl. 2.



Sl. 2. Skica postupka za pronaalaženje Sjevernjače pomoću sazvježđa Velika kola.

Fig. 2. Procedure scheme for locating the Polaris (orientation by Ursa Major)

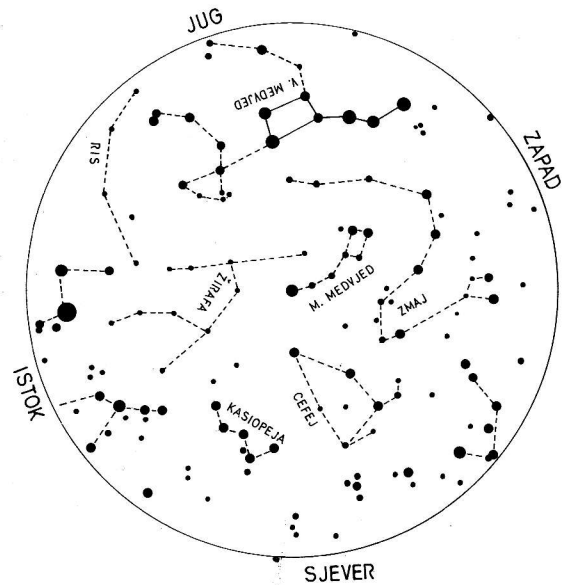
Za orientaciju može poslužiti i karta koja prikazuje noćno nebo oko 21 h (službenog ljetnog vremena) krajem travnja.

## 2.5. Nišanski durbin

Ne ulazeći u optička svojstva nišanskog durbina, na osnovi službenih podataka, nitni krst (orientaciona mrežica) u durbinu izgleda kao na Sl. 4.

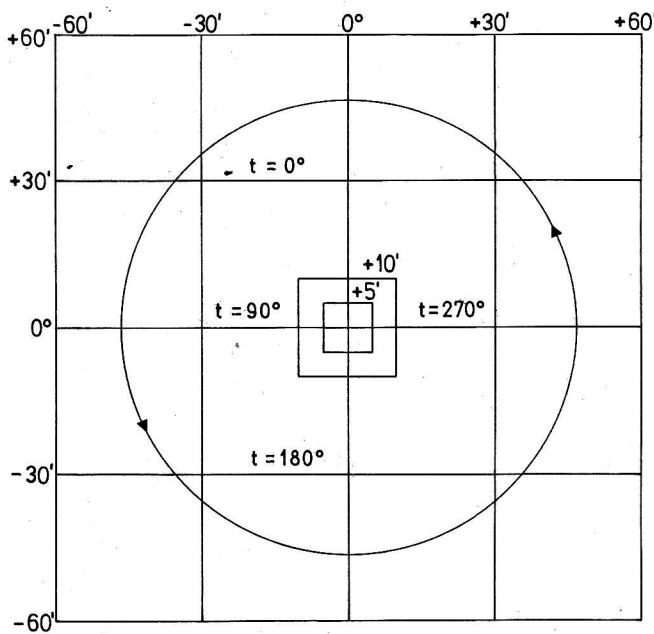
Kružnica na slici predstavlja trajektoriju gibanja Sjevernjače, gledano kroz durbin, kada je radar ispravno orijentiran.

Uslijed rotacije Sjevernjača se po trajektoriji giba kutnom brzinom od  $0^{\circ},9973$  na dan u smjeru strelica.



Sl. 3 Situaciona karta zvjezdanog neba oko 21 h ljetnog vremena krajem travnja.

Fig. 3. Map of North Celestial Pole area (9pm civil time, end of April). Ursa Major is close to zenith.



Sl. 4. Orientacijska mreža u nišanskom durbinu radara 3MK7 sa trajektorijom Sjevernjače u slučaju kada je radar idealno orijentiran.

Fig. 4. Finder screen of leveled 3MK7 with Polaris trajectory in case radar is oriented correctly.

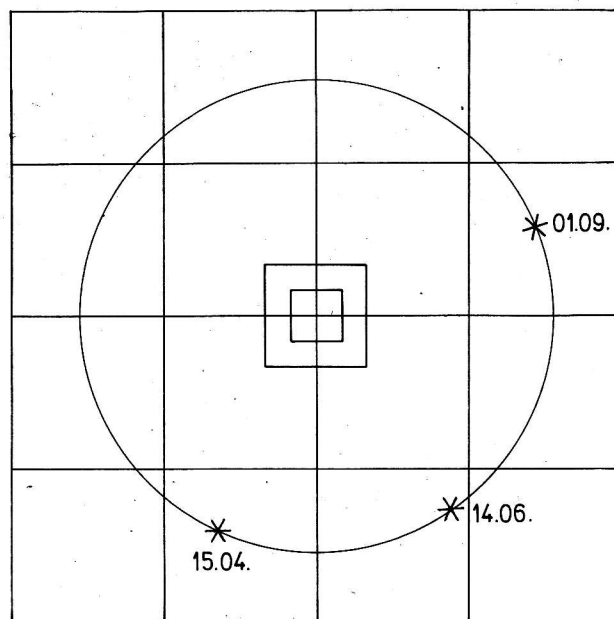
### 3. RAZRADA METODE

Metoda se temelji na definiranju položaja Sjevernjače na trajektoriji s obzirom na utjecaj rotacije i revolucije.

Do ovog položaja se dolazi eksperimentalno i proračunavanjem utjecaja rotacije i revolucije, na osnovi rečenog u prethodnom poglavljju.

Slika 5.

Slika 5. ujedno je sugestija da se provjere orientacije radara vrše naznačenih datuma sa dozvoljenim odstupa-



Sl. 5. Položaj Sjevernjače, gledano kroz nišanski durbin, idealno orijentiranim radarom, za tri različita datuma u 00 h 00 min. službenog ljetnog vremena.

Fig. 5. Polaris position, seen through a finder of correctly oriented radar. Three dates, 00.00 o'clock civil time.

njem od jednog dana.

Za veće odstupanje od predloženih datuma treba proračunati položaj Sjevernjače uzimajući u obzir utjecaj revolucije.

Nakon što izvršimo lokaciju Sjevernjače za određeni datum, pristupimo proračunu položaja s obzirom na rotaciju za noćni dio tog dana.

Zgodno je odabrati točke presjeka trajektorije i orientacione mreže te u njima izračunati aktualno očekivano vrijeme.

Nakon toga se može pristupiti provjeri predvidenog položaja Sjevernjače i stvarnog položaja opaženog u odgovarajućem trenutku, nišanskim durbinom.

Rezultat osmatranja udovoljava početnim uvjetima sve dok se Sjevernjača nalazi u šrafiranom području prikazanom na Sl. 6.

Slika 6.

Za predložene datume izvršen je proračun očekivanih vremena-položaja Sjevernjače i prikazan na slikama 7,8 i 9.

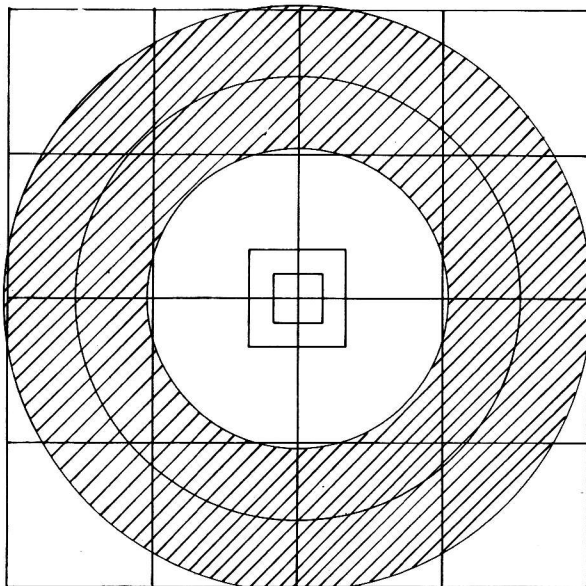
### 4. OPIS POSTUPKA

Uzalni podatak je geografska širina RC.

U prvim večernjim satima radar se upali, podesi elevacija tako da po iznosu bude jednaka geografskoj širini, azimut podesi na  $0^\circ$ .

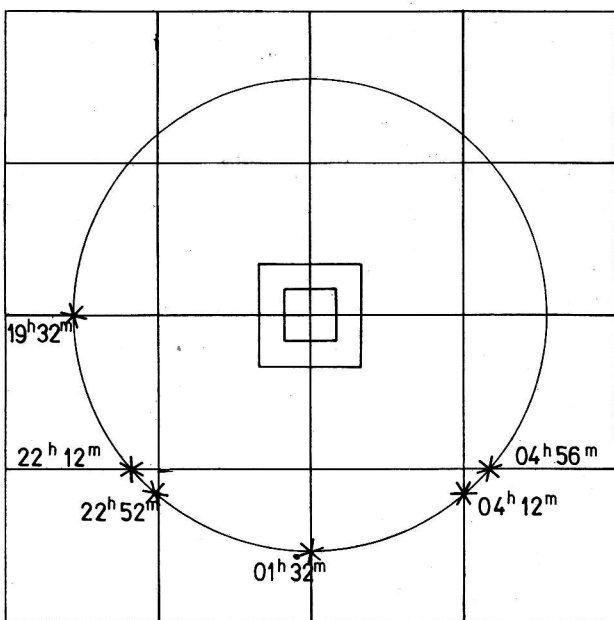
Radar se ugasi.

Anteni radara pristupi se pažljivo da je se ne pomjeri. Ukoliko se radi o jednom od predloženih datuma za provjeru orientacije radara, pripremi se odgovarajuća slika (7, 8. ili 9) očekivanog položaja Sjevernjače. U protivnom se načini slična slika, ali za odabrani datum.



Sl. 6. Područje dozvoljenog odstupanja opaženog položaja Sjevernjače u odnosu na predviđeni. (max  $\pm 15'$ ).

Fig. 6. Area of tolerated deviation of a found Polaris position related to a reference position.  
Tolerance is max.  $\pm 15'$ .



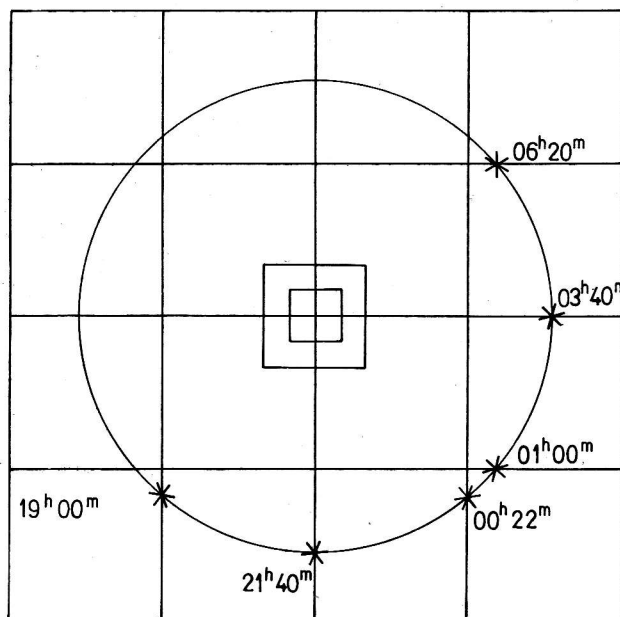
Sl. 7. Očekivani položaji Sjevernjače u orientacijskoj mreži nišanskog durbina radara 3MK7 na dan 15.04.

Fig. 7. Expected Polaris positions in 3MK7 finder screen on 15th April.

U trenutku koji je naznačen na odgovarajućoj slici izvršimo srađnjivanje predviđenog položaja Sjevernjače sa njenim stvarnim položajem.

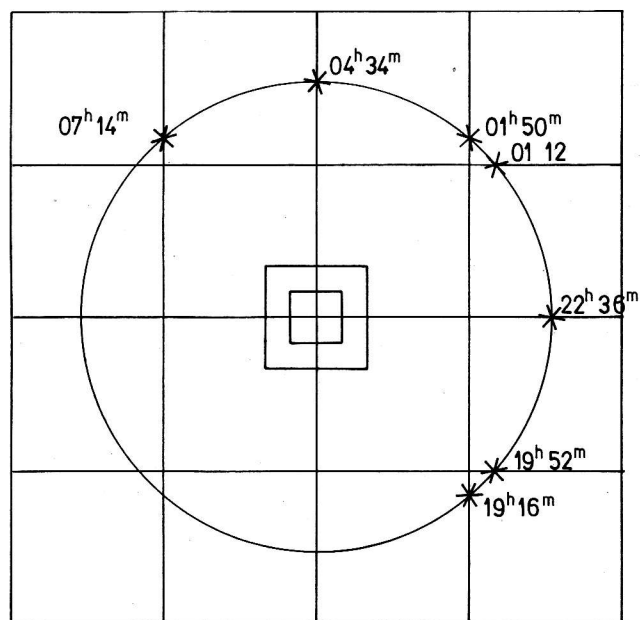
Ako opaženi položaj Sjevernjače odstupa od predviđenog više nego to dopušta »prsten tolerancije« (Sl.6), orientacija radara ne zadovoljava.

##### 5. RAČUNANJE POLOŽAJA SJEVERNJAČE NA TRAJEKTORIJI POMOĆU ZVJEZDANIH TABLICA (EFE-MERIDA)



Sl. 8 Očekivani položaji Sjevernjače u orientacijskoj mreži nišanskog durbina radara 3MK7 na dan 14.06.

Fig. 8. Expected Polaris positions in 3MK7 finder screen on 14th June.



Sl. 9. Očekivani položaji Sjevernjače u orientacijskoj mreži nišanskog durbina radara 3MK7 na dan 01.09.

Fig. 9. Expected Polaris positions in 3MK7 finder screen on 01st September.

Za značajnija odstupanja datuma provjere orientacije radara od predloženih datuma treba pristupiti izračunavanju satnog kuta radi lokacije Sjevernjače na trajektoriji (Sl. 4). Satni kut raste od  $0^\circ$  u smjeru strelica na slici (protusatno).

Polazne veličine su datum, geografska dužina RC i rektascenzija Sjevernjače za dotični datum.

Položaj se računa za  $0^h$  službenog ljetnog vremena. Ono se prevodi u svjetsko vrijeme (UT), množenjem sa koeficijentom  $k=1.00273791$  prelazi se na svjetsko zvje-

zdano vrijeme (UT\*). Na osnovi tako dobivenog vremena u tablicama zvjezdanog vremena interpoliramo zvjezdano vrijeme ( $S_o$ ). Zbrajanjem svjetskog zvjezdanog vremena i zvjezdanog vremena dobijamo zvjezdano griničko vrijeme ( $S_g$ ), njemu pribrojimo geografsku dužinu RC ( $\lambda$ ) i dobijemo mjesno zvjezdano vrijeme ( $S_m$ ). Oduzimanjem od mjesnog zvjezdanog vremena odgovarajuće rektascenzije Sjevernače ( $\alpha$ ) dobijamo satni kut (t). Ucrtavanjem satnog kuta na trajektoriju Sjevernače, kao što je učinjeno na Sl. 5, dobijamo očekivani položaj Sjevernače u tražilu durbina u  $0^h$  službenog ljetnog vremena dotičnog datuma.

Primjer: Računanjem satnog kuta locirati očekivani položaj Sjevernače u tražilu nišanskog durbina radara 3MK7 na dan 14.06. u  $0^h 0^m$  službenog ljetnog vremena.

$$\lambda = 17^{\circ}299019 \Rightarrow 17^{\circ}299019 \times \frac{60}{15} = \lambda = 1^h 09^m$$

$$\alpha = 2^h 19^m \quad k = 1,00273791$$

$$T = 0^h 0^m$$

$$UT = T - 2^h \quad UT = 22^h 00^m$$

$UT^* = UT * k$   $UT^* = 22^h 04^m \rightarrow$  iz tablica zvjezdanog vremena za 13.06. oko  $22^h$  interpolacijom slijedi  
 $S_o = 17^h 28^m$

$$S_g = UT^* + S_o \quad S_g = 15^h 32^m$$

Tabela 2. Zvjezdano vrijeme ( $S_o$ ) u zavisnosti o svjetskom zvjezdanom vremenu (UT\*) za period od 15. 04. do 15. 10.

UT*	$S_o$ h m												
04. 15.	13 33	05. 01.	14 36	06. 01.	16 38	07. 01.	18 36	08. 01.	20 38	09. 01.	22 41	10. 01.	00 39
16.	36	02.	40	02.	42	02.	40	02.	42	02.	44	02.	43
17.	40	03.	43	03.	46	03.	44	03.	46	03.	48	03.	47
18.	44	04.	47	04.	50	04.	48	04.	50	04.	52	04.	51
19.	48	05.	51	05.	54	05.	52	05.	54	05.	56	05.	55
20.	52	06.	55	06.	58	06.	56	06.	58	06.	23 00	06.	59
21.	56	07.	59	07.	17 01	07.	19 00	07.	21 02	07.	04	07.	01 02
22.	14 00	08.	15 03	08.	05	08.	04	08.	06	08.	08	08.	06
23.	04	09.	07	09.	09	09.	08	09.	10	09.	12	09.	10
24.	08	10.	11	10.	13	10.	12	10.	14	10.	16	10.	14
25.	12	11.	15	11.	17	11.	16	11.	18	11.	20	11.	18
26.	16	12.	19	12.	21	12.	19	12.	22	12.	24	12.	22
27.	20	13.	23	13.	25	13.	23	13.	26	13.	28	13.	26
28.	24	14.	27	14.	29	14.	27	14.	30	14.	32	14.	30
29.	28	15.	31	15.	33	15.	31	15.	34	15.	36	15.	34
30.	32	16.	35	16.	37	16.	35	16.	37	16.	40		
		17.	39	17.	41	17.	39	17.	41	17.	44		
		18.	43	18.	45	18.	43	18.	45	18.	48		
		19.	47	19.	49	19.	47	19.	49	19.	51		
		20.	50	20.	53	20.	51	20.	53	20.	55		
		21.	54	21.	57	21.	55	21.	57	21.	59		
		22.	58	22.	18 01	22.	59	22.	22 01	22.	00 03		
		23.	16 02	23.	05	23.	20 03	23.	05	23.	07		
		24.	06	24.	09	24.	07	24.	09	24.	11		
		25.	10	25.	12	25.	11	25.	13	25.	15		
		26.	14	26.	16	26.	15	26.	17	26.	19		
		27.	18	27.	20	27.	19	27.	21	27.	23		
		28.	22	28.	24	28.	23	28.	25	28.	27		
		29.	26	29.	28	29.	27	29.	29	29.	31		
		30.	30	30.	32	30.	30	30.	33	30.	35		
		31.	34		31.	34	31.	34	31.	37			

$$S_m = S_g + \lambda \quad S_m = 16^h 41^m$$

$$t = S_m - \alpha \quad t = 14^h 22^m$$

$$t(^o) = t(h) * 15^o/h \Rightarrow t = 215^o 45'$$

Usporedbom na Sl. 5. vidimo nivo poklapanja eksperimentalnih i računskih rezultata.

## 5. PRILAGODENE ZVJEZDANE TABLICE

Tabela 1. Vrijednosti rektascenzije Sjevernače ( $\alpha$ ) u zavisnosti o datumu za period od 15.04. do 15.10.

Table 1. Right Ascension values ( $\alpha$ ) for Polaris in dependence of date for the period Apr. 15. to Oct. 10.

Period	Rektascenzija
15. 04. – 22. 06.	$2^h 19^m$
23. 06. – 28. 07.	$2^h 20^m$
29. 07. – 04. 09.	$2^h 21^m$
05. 09. – 15. 10.	$2^h 22^m$

## ZAKLJUČAK

U višegodišnjoj praksi upotrebe radara 3MK7 za potrebe obrane od tuče uobičajen je postupak za orijentaciju

Table 2. Sidereal Time ( $S_o$ ) in dependence of Universal Time (UT\*) for the period Apr. 15 to Oct. 15.

radara na bazi topografskih karata, orijentira i magnet-skog polja. Ova metoda je izložena nizu pogrešaka koje kao krajnju posljedicu mogu imati značajnu netočnost u orijentaciji radara.

Sporadično, radari su orijentirani prema sjeveru pomoću Sjevernjače, pri čemu se nije vodilo računa o činjenici da je ona u blizini sjevernog pola, a ne točno u njemu. Time je pogreška orijentacije bila u granicama  $\pm 52'$ .

Metoda koja je izložena u ovom radu omogućava orijentaciju radara sa točnošću većom od  $\pm 15'$ . Uz nešto pažnje i ustrajnosti metoda omogućava gotovo apsolutno točnu orijentaciju.

Obrana od tuče je specifična i kompleksna djelatnost. Kompleksnost se ogleda u činjenici da svaki od činilaca u lancu aktivnosti unosi određenu pogrešku. Te su pogreške kumulativnog karaktera.

Značaj ovog rada je u smanjenju kumulativne pogreške svodenjem pogreške orijentacije radara na minimum.

Manjkavost ove metode jeste osnovna pretpostavka pod kojom je ona izvedena, a to je paralelnost optičke osi nišanskog durbina i optičke osi radarskog snopa. Rečeno upućuje na zaključak da ovim metodom nije u potpunosti isključena mogućnost pogreške u orijentaciji radara.

#### LITERATURA

- Muminović, M. Stupar, M. Mulaomerović, J. 1982: Astronomski kalendar za 1982.g., Astronomska opservatorija Sarajevo, Sarajevo.  
 Muminović, M i Stupar, M. 1979: Zvjezdani atlas, Astronomska opservatorija Sarajevo, Sarajevo.  
 Muminović, M. 1976: Astronomija, Akademsko astronomsko društvo, Sarajevo.  
 Pravilo: 1962: Protivavionski nišanski radar 3MK7, Štamparija KRV, Zemun.  
 Simovljević, J, L. 1977: Osnove teorijske astronomije, Izdavačko preduzeće građevinska knjiga, Beograd.  
 Vršnak, B. 1982: Astronomska mjerena 1, Školska knjiga, Zagreb.  
 Cingar. 1928: Kurs astronomije (praktički deo), Beograd.  
 Astronomičeski ježegodnik 1989. SSSR

#### SUMMARY

This paper was directly inspired by hail suppression activities in the SR of Croatia, Yugoslavia. Analyses of hail suppression activities showed differences between radar locations of Cb clouds and locations of hail on the ground. One of possible causes of these situations is incorrect orientation of the radar. Radar orientation methods used up until now were indirect, by means of direction guides, topographical maps and compasses.

In this paper, a relatively simple method of radar orientation and radar orientation exactness testing, by means of Polaris position, for 3MK7 radars, which are used in hail suppression in the SR of Croatia, is discussed. This method is simpler, more exact and more accurate than the previous. The essential requirement for using this method is parallelism of optical axes of the radar finder and the axis of maximum radiation of the antenna.

In the first part we present experimental results of determining the Polaris location on a cross in the radar finder, relating to dates and times of scanning. Detailed illustrations are also presented.

In the second part we present a procedure of Polaris location calculation from the data of Ephemerida. The Ephemerida data are given in the tables. These data are simplified, but they allow the necessary exactness for use in radar orientation.

The method allows orientation exactness of max.  $\pm 15'$ , exact enough for use in hail suppression activities. The above mentioned essential requirement is also the only factor that restricts the use of the method. For this reason, the next step in improving the exactness of 3MK7 radar orientation is to define a method of testing the parallelism of optical axes of the radar finder and axis of maximum radiation of the antenna. This could lead to eliminating the differences between radar defined locations and real locations of Cb clouds.